

ウェブの影響を考慮した繰り返し荷重下の薄肉はりモデル

豊田高専 正会員 ○草間 晴幸
名古屋大 正会員 福本 喬士

1. はじめに

著者らは文献[1]において、繰り返し荷重を受ける薄肉はりの1つのモデルとして、上下フランジ要素のみからなる、Double Flange Section Model (DFS)の変形挙動特性について報告した。また、文献[2,3]において実験から得られたモーメント-曲率曲線 (M-歪曲線) と DFS の M-歪曲線を比較し、その結果、フランジ要素の幅厚比が小さいはりに対して、実験値と計算値は良好な一致が見られるが、幅厚比が大きいはりに対しては、処女曲線においても両者があまり一致しないことが判明した。本研究では、この問題を解決すべく、ウェブの影響を考慮した新しいモデルを提案し、実験結果と数値計算結果とを比較することにより、このモデルの妥当性を検証するものである。

2. 薄肉はりモデル

このモデルは、荷重に対するフランジ要素の抵抗だけでなく、ウェブ要素の抵抗をも考慮したモデルである。数値計算に対する仮定は次のようである。

- (1) 繰り返し荷重下において、ウェブ要素は弾塑的に挙動し、局部座屈は生じない。
- (2) はりの中立軸は、断面内の釣り合い条件を満足するように決定される。すなわち、次式で示されるように、断面内の法線応力の総和が0になることである。

$$\int_A \sigma dA = 0 \quad (1)$$

- (3) フランジの平均応力-平均ひずみ関係は文献[1]の手法によって計算される。

Fig. 1 に示す荷重状態における、薄肉はりの断面のひずみ分布を示す。図中、 $\epsilon_u(\epsilon_x)$ と $\epsilon_u(\epsilon_y)$ はそれぞれ、はりの上(下)フランジ要素の平均応力と平均ひずみである。仮定(2)より次のような ϵ_y/ϵ_x に関する一次方程式を得る。

$$\left(\frac{\epsilon_x}{E} + \beta \right) \left(\frac{\epsilon_x}{\epsilon_y} \right)^2 + \frac{\epsilon_u}{\epsilon_y} \left(\frac{E_x}{E} - \frac{\epsilon_u}{E} \right) \frac{\epsilon_x}{\epsilon_y} - (1 + \beta) \left(\frac{\epsilon_u}{\epsilon_y} \right)^2 = 0 \quad (2)$$

ここで、 $\beta = D/B$, $E_u = \epsilon_u/\epsilon_x$ および $E_x = \epsilon_x/\epsilon_y$ である。下フランジが線形弾性状態にある場合、($E_x/E = 1$), 式(2)の ϵ_u/ϵ_y および E_u/E を仮定することにより、 ϵ_x/ϵ_y が求まり、容易に中立軸の位置は決定できる。

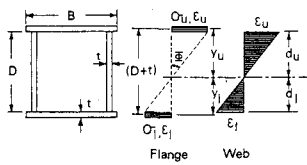


Fig. 1 Strain Distribution assumed for Model of Thin-Walled Beams.

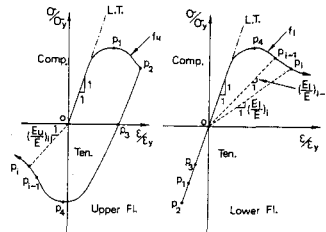


Fig. 2 Schematic Stress Hysteresis of Upper and Lower Flanges of Model during Cyclic Loading.

しかし、下フランジが非線形の状態にある場合、中立軸の位置は反復法によって求めなければならぬ。繰り返し載荷中の上下フランジの応力履歴の模式図をFig. 2に示す。 $\sigma_u/\sigma_y = f_u(\varepsilon_u/\varepsilon_y)$ および $\sigma_e/\sigma_y = f_e(\varepsilon_e/\varepsilon_y)$ は反復計算を進める前に既に求まっている。両方の曲線が点 $0 \rightarrow p_1 \rightarrow p_2 \rightarrow p_3 \rightarrow p_4 \dots \rightarrow p_{i-1} \rightarrow p_i$ と進行していく場合、今、 p_i の状態について考える。この場合、式(2)に対して $(E_u/E)_i$ および $(E_e/E)_i$ の値を仮定し、直接 $(E_u/E)_i$ および $(E_e/E)_i$ を決定することは不可能である。よって、反復計算の第1近似値として $(E_e/E)_i$ の代わりに $(E_e/E)_{i-1}$ を用いる。すると式(2)は第1回目の近似計算式として次式のようになる。

$$\left\{ \left(\frac{E_e}{E} \right)_{i-1} + \beta \right\} \left(\frac{\varepsilon_e}{\varepsilon_y} \right)_i^2 + \left(\frac{\varepsilon_u}{\varepsilon_y} \right)_i \left\{ \left(\frac{E_e}{E} \right)_{i-1} - \left(\frac{E_u}{E} \right)_i \right\} \left(\frac{\varepsilon_e}{\varepsilon_y} \right)_i \\ - (1+\beta) \left(\frac{\varepsilon_u}{\varepsilon_y} \right)_i^2 = 0 \quad (3)$$

式(3)によって $(E_e/E)_i$ が得られ、その値を $f_e(\varepsilon_e/\varepsilon_y)$ に代入することにより、 $(E_e/E)_i$ の第2近似値を得る。 $(E_e/E)_i$ の近似値が要求される精度を持つ値に収束するまで、同様の手順を繰り返す。このモデルの降伏モーメント、 M_{II} は次式によって計算される。

$$M_{II} = Bt (\sigma_u y_u - \sigma_e y_e) + Et (\varepsilon_u du^2 - \varepsilon_e de^2) / 3 \quad (4)$$

また、降伏モーメント、 M_{IY} 、および無次元化された曲率、 $\bar{\kappa}_x/\bar{\kappa}_{IY}$ は、それぞれ、次式で表わされる。

$$M_{IY} = 2I\bar{\kappa}_y / (D + 2t), \quad \bar{\kappa}_x/\bar{\kappa}_{IY} = (\varepsilon_u/\varepsilon_y - \varepsilon_e/\varepsilon_y) / 2 \quad (5)$$

このモデルによって計算した繰り返しM-Φ曲線をFig. 3に示す。図中の破線は実験値である。Fig. 3より、このモデルによって計算された繰り返しM-Φ曲線は、おおむね、実験値と一致している。

【参考文献】[1]. Fukumoto, Y., and Kusama, H., "Cyclic Behavior of Plates under In-Plane Loading," *Engineering Structures*, Jan., 1985.

[2]. Fukumoto, Y., and Kusama, H.,

"Cyclic Behaviour of Thin-Walled Box Stub-Columns and Beams,"
Proceedings of the Third International Colloquium on Stability of Metal Structures, Paris, Nov., 1983, pp. 211-218.

[3]. 草間, 福本「繰り返し荷重を受ける薄肉箱形断面部材のモデルについて」
第39回年次学術講演会概要集.

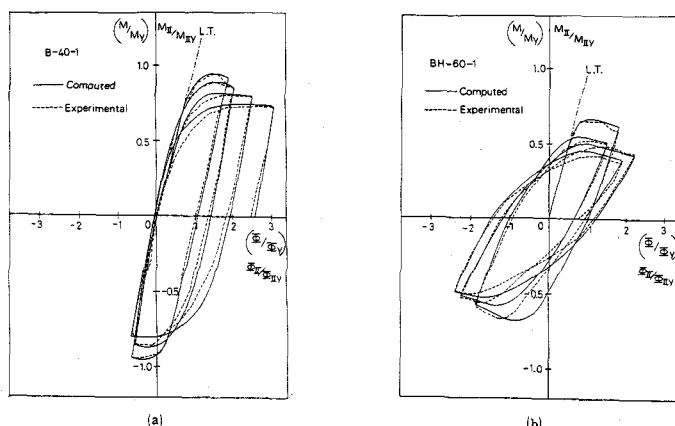


Fig. 3 Comparison of Experimental and Analytical M-Φ Curves for Model